

بررسی و پیش بینی متوسط دمای ماهانه تبریز با استفاده از مدل آریما (ARIMA)^۱

چکیده

با توجه به تأثیر دما در شرایط اقلیمی هر منطقه و اهمیت پیش بینی آن در برنامه ریزیهای محیطی، استفاده از روشهای آماری به منظور مطالعه تغییرات و پیش بینی دما، کاربرد وسیعی پیدا کرده است. یکی از روشهای مذکور، بررسی متوسط دمای ماهانه بر اساس مدل آریمای باکس - جنکینز^۲ است. در این تحقیق، با استفاده از مدل فوق، متوسط دمای ماهانه ایستگاه تبریز برای یک دوره آماری ۴۰ ساله (۹۸ - ۱۹۵۹) بر اساس روش خود همبستگی و خود همبستگی جزئی و کنترل نرمال بودن باقی مانده‌ها با به کارگیری آزمون کولموگوروف اسمیرنوف^۳ مورد بررسی قرار گرفته است. پس از مقایسه معیار آکاییک (AIC)، الگوهای آزمایشی مدل $ARIMA(0,0,1), (0,1,1)$ که ترکیبی از دو بخش غیر فصلی $(p=0, d=0, q=1)$ و فصلی $(SP=0, SD=1, SQ=1)$ می‌باشند، به عنوان مدل‌های محاسباتی انتخاب گردیده و بر اساس آنها، تغییرات متوسط دمای ماهانه ایستگاه تبریز تا سال ۲۰۱۰ پیش بینی شده است.

کلید واژه‌ها: مدل آریما، روش معیار آکاییک (AIC)، آزمون کولموگوروف اسمیرنوف، خود همبستگی، خود همبستگی جزئی.

1. Autoregressive Integrated Moving Average

2. BOX - Jenkins.

3. Kolmogorov Smirnov Test.

مقدمه

دما، یکی از شاخصهای اصلی در مطالعات اقلیمی، در تعیین نقش سایر عناصر اقلیمی نیز عامل مؤثری به شمار می‌رود. دما در چرخه انرژی، همراه با چرخه آب اثرهای انکارناپذیری بر فعالیتهای انسانی و رایندهای طبیعی - از جمله تأمین منابع آبی هر ناحیه - دارد و تغییرات آن در برنامه‌ریزیهای زیست محیطی، اقتصادی و اجتماعی عامل تعیین کننده‌ای به شمار می‌رود. کاربرد وسیع اطلاعات دمایی، باعث شده است که در دهه‌های اخیر، مطالعه نوسانها و تغییرات دما در درازمدت (روند) و کوتاه‌مدت (مثل چرخه‌های سالانه) مورد توجه جغرافیدانان و آب و هواشناسان قرار گیرد. برای انجام این قبیل مطالعات، اغلب از روشهای سریهای زمانی و فرایندی موسوم به «مدل میانگین متحرک جمعی خود همبسته» یا مدل آریمای مرتبه (p,d,q) استفاده می‌شود. در این پژوهش نیز از مدل آریما برای بررسی تغییرات و پیش‌بینی متوسط دمای ماهانه ایستگاه سینوپتیک تبریز استفاده شده است. این مطالعه با استفاده از آمار ۴۰ ساله (۱۹۵۹-۹۸) و با استفاده از نرم‌افزارهای Excel, Spss و Minitab انجام پذیرفته است.

هدف تحقیق

هدف اصلی در این تحقیق، بررسی تغییرات و نوسانهای متوسط دما در ایستگاه تبریز در سالهای گذشته و تجزیه تحلیل آماری و پیش بینی آنها برای سالهای آینده است.

پیشینه تحقیق

روش سریهای زمانی به منظور بررسی دما، در مطالعات متعددی مورد استفاده قرار گرفته است که در این قسمت فقط به چند مورد از آنها اشاره می‌شود:

تورکش^۱ و همکاران (۱۹۹۶) تغییرپذیری روند میانگین دمای سالانه را در ترکیه مورد مطالعه قرار داده‌اند. نتایج بررسی آنها در مقیاس ناحیه‌ای، روند افزایش دمای آناتولی شرقی و روند کاهش آن را در نواحی ساحلی ترکیه در دو دهه اخیر نشان می‌دهد.

لیت و پیکسوتو^۲ (۱۹۹۶) کاربرد مدل‌های اتورگرسیو را در بررسی تغییرات دما با استفاده از بلندترین سریهای زمانی مورد بررسی قرار داده‌اند. مطالعه آنها نشان می‌دهد که مقادیر تغییرپذیری قابل توجهی در مقیاسهای سالانه و دهه‌ای وجود دارد. نتیجه دیگر این تحقیق بیانگر آن است که نمی‌توان وجود روند افزایش دما را در مقیاس جهانی به اثر گلخانه‌ای نسبت داد.

سن زکایی^۶ (۱۹۹۸) با تأکید بر اهمیت تعداد نمونه در تعیین تغییرات اقلیمی، اشاره کرده است که به علت وجود خود همبستگی در داده‌های اقلیمی نظیر دما، روش مدل‌سازی آریمای از معتبرترین روشهای بررسی تغییرات اقلیمی است.

زوبرز و تایاکس^۷ (۱۹۸۷) پیشنهاد کرده‌اند که به منظور تعیین اثر خود همبستگیها (نظیر خود همبستگی موجود در داده‌های اقلیمی) از روشهای ضریبی اتورگرسیو و میانگین متحرک فصلی استفاده شود (داده‌های اقلیمی نیز دارای اثر فصل و یا اثر روند می‌باشند).

الاودهی و جولیفه^۸ (۱۹۹۸) با استفاده از مدل‌سازی آماری مدل‌های اتورگرسیو میانگین متحرک، داده‌های مربوط به فشار سطح دریا را در منطقه خلیج هرن انگلستان از سال ۱۹۸۱ تا ۱۹۸۹ مورد مطالعه قرار داده‌اند.

ساکس و جنکنیز (۱۹۷۶) علت استفاده از مدل‌های میانگین متحرک تجمعی خود همبسته را در مطالعه خود، وجود خود همبستگی در داده‌های اقلیمی با دارا بودن اثر فصل و یا روند عنوان نموده‌اند.

ترابی (۱۳۸۰) با استفاده از روش سریهای زمانی و مدل آریمای پنج ایستگاه معرف در پنج ناحیه اقلیمی ایران را در فاصله سالهای ۱۹۵۱ تا سال ۱۹۹۵ مورد مطالعه قرار داده و نتیجه گرفته است که مقادیر حداقل و حداکثر دما، به جز مناطق نیمه خشک گرم ایران (ایستگاههای حاشیه کویر و مناطق کم ارتفاع جنوبی)، در سایر مناطق - از جمله نواحی دریای خزر و نواحی کوهستانی - تغییرات دمایی داشته‌اند.

طاهری (۱۳۷۷) مدل‌بندی و پیش‌بینی دما و بارندگی یازده ایستگاه هواشناسی ایران را با استفاده از مدل اتورگرسیو میانگین متحرک ضریبی تا پایان سال ۲۰۰۰ انجام داده است.

رحیم زاده (۱۳۶۹) میانگین دمای ماهانه و بارندگی ایستگاه تهران را با استفاده از روش سریهای زمانی مدل‌بندی نموده و مقادیر دما را برای سالهای آتی با استفاده از مدل به دست آمده پیش‌بینی کرده است.

در تحقیق حاضر، به منظور تعیین روند تغییرات دما و پیش‌بینی آن، اقدام به ایستادن مدل آریمای از طریق بررسی خود همبستگی و خود همبستگی جزئی و نرمال کردن داده‌ها گردیده و پیش‌فرضهای آریمای نیز جهت افزایش اعتبار مدل پیش‌بینی مد نظر قرار گرفته است.

6. Sen Zekai.

7. Zobers and Tybax.

8. Elavedhi and Joltfe

داده‌ها و روشها

الف) داده‌ها

در این پژوهش، متوسط دمای ماهانه ایستگاه سینوپتیک تبریز، واقع در ۳۸ درجه و ۵ دقیقه عرض شمالی و ۴۶ درجه و ۱۷ دقیقه طول شرقی ایران، طی سالهای ۱۹۵۹ تا ۱۹۹۸ (به مدت ۴۰ سال) مورد استفاده قرار گرفته است.

ب) روشها

در این مطالعه، از مدل آریما برای بررسی تغییرات متوسط دمای ماهانه و پیش‌بینی آن در ایستگاه تبریز استفاده شده است. به علت نامشخص بودن عوامل مؤثر در ایجاد سری زمانی خروجی، سیستم سری زمانی دما، که برآیند همه عوامل مؤثر بر ساخت سری زمانی ورودی می‌باشد، جایگزین عوامل نامشخص شده است. بنابراین، سیستم مربوط به صورت زیر خواهد بود:

$$a_t \rightarrow \boxed{\psi(B) \text{ تابع انتقال}} \rightarrow Y_t$$

در نتیجه، رابطه بین ورودی و خروجی به صورت زیر است:

$$Y_t = \mu + \psi(B) a_t = \mu + (\psi_0 + \psi_1 B + \dots + \psi_j B^j + \dots) a_t \dots\dots\dots (۱)$$

$$(۲) Y_t = \mu + \psi_0 a_t + \dots + \psi_1 a_{t-1} - j + \dots = \sum_{j=0}^{\infty} \psi_j a_{t-j} - j + \mu \dots\dots\dots (۲)$$

در روابط فوق، ضرایب تأثیر سری a_t در زمانهای مختلف را نشان می‌دهد.

(در تعریف این تابع انتقال، $\psi_0 = 1$ فرض می‌شود) اگر ضرایب ψ_j در شرط

$$\lim_{j \rightarrow \infty} \psi_j = 0$$

صدق کند، مدل را اصطلاحاً «پایدار» می‌نامند.

در عمل، این مدل به صورتهای ظاهری متفاوت تری بروز می‌کند که کاملترین آن به شکل

زیر است:

$$\varphi(B)(1 - B)^d Y_t^* = \theta(B) a_t \dots\dots\dots (۳)$$

در رابطه فوق $\theta(B)$ چند جمله‌ای میانگین متحرک خوانده می‌شود. ضابطه این چند جمله‌ایها

عبارتند از:

$$\phi(B) = 1 - \phi_1 B - \phi_2 B^2 - \dots - \phi_p B^p \dots\dots\dots (۴)$$

$$\theta(B) = 1 - \theta_1 B - \dots - \theta_q B^q \dots\dots\dots (۵)$$

در روابط فوق، p, q به ترتیب درجات چند جمله‌ایهای خود بازگشت و میانگین متحرک هستند. عدد d مرتبه تفاضل گیری نامیده می‌شود و تعداد دفعاتی را که برای رساندن سری به نوعی تعادل آماری لازم است، نشان می‌دهد. مدل سری زمانی با ساختار (۴) را مدل جمع بسته خود بازگشت و میانگین متحرک می‌نامند و آن را با نماد $ARIMA(p, d, q)$ نشان می‌دهند. P مرتبه ارتباط سری زمانی با گذشته خود و q مرتبه ارتباط سری با عوامل مؤثر ساخت آن را نشان می‌دهد. بنابراین، بدیهی است که هر چه d, q, p بزرگتر باشند با مدلی پیچیده‌تر روبه‌رو خواهیم بود. شکل مبسوط آریما در کلی‌ترین حالت با فرض سری پایدار شده به صورت زیر است:

$$\nabla^d Y_t \approx (1 - B)^d Y_t \approx W_t \dots\dots\dots (۶)$$

$$W_t = \phi_1 W_{t-1} + \dots + \phi_p W_{t-p} + a_t - \theta_1 a_{t-1} - \dots - \theta_q a_{t-q} \dots\dots\dots (۷)$$

اگر سری زمانی از نوع فصلی باشد، در این حالت مدل‌بندی حالتی دو بعدی پیدا می‌کند. در واقع بخشی از تغییرات سری زمانی به تغییرات درون هر فصل و بخشی دیگر به تغییرات بین فصلهای مختلف برمی‌گردد. مثلاً اگر دوره تناوب سری S فرض شود، می‌توان هر مشاهده را بر اساس شماره فصل و شماره مشاهده در فصل تجزیه کرد. برای مثال، مشاهدات Y_1 و Y_{S+1} و Y_{2S+1} ... همه از نظر زمانی در درون فصل ثابتند ولی در فصلهای مختلف رخ می‌دهند. مشاهده Y_1 اولین مشاهده در فصل اول و Y_{S+1} اولین مشاهده در فصل دوم بوده‌الی آخر. بنابراین، اگر j به صورت $j = KS + (j - KS)$ باشد که در آن $K=0, 1, \dots$ و $(j - KS < S)$ خواهد بود، می‌توان وضعیت هر مشاهده را در مدل فضایی تعیین کرد.

در حالت کلی، مدل‌های فصلی، مدل‌هایی دو بعدی با اثرهای یاد شده هستند و برای کامل بودن باید این تفکیک اثرها را به نوعی در مدل دخالت داد. نوع خاصی از مدل‌های فصلی که در عمل نتایج مناسبی را نشان داده و بر ساختار کلی مدل‌های آریما نیز منطبق می‌باشند، از سوی باکس و جنکینز به نام «مدل فصلی ضرب‌پذیر» نامیده می‌شوند که به صورت زیر می‌باشد:

$$\phi_p(B)\Phi_p(B^S)(1 - B)^d(1 - B^S)^D \bar{Y}_t = \theta_q(B)\Theta Q(B^S)a_t \dots\dots\dots (\Lambda)$$

این مدل به صورت $ARIMA(p,d,q) \times (p,D,Q)_s$ نمایش داده می شود و جزو گروه کلی مدل های آریما قرار دارد. $\Phi_p(B^s)$ و $\Theta_q(B^s)$ به ترتیب چند جمله ایهای خود بازگشت و میانگین متحرک فصلی می باشند. در این مطالعه، برای تعیین مدلی از آریما در اولین مرحله ایستاکردن مقادیر سری زمانی با توجه به نمودار خود همبستگی نمونه مربوط به مشاهدات صورت گرفته است. برای از بین بردن تغییرات زمانی موجود در سطح مینا، با استفاده از نرم افزار SPSS عمل تفاضل گیری با مرتبه d انجام گرفته است تا بتوان مدل را با تبدیلاتی ایستا نمود. مقدار d مرتبه تعداد دفعاتی را که برای ایستا کردن سری زمانی لازم است نشان می دهد و با رابطه زیر مشخص می گردد:

$$B^d z_t = z_t - d \dots\dots\dots (9)$$

تفاضل گیری مرتبه یک سری زمانی Y_t با رابطه زیر تعریف می شود:

$$Y_t = (1 - B)z_t = z_t - z_{t-1} \dots\dots\dots (10)$$

در واقع، با اعمال Y_t در هر مرتبه هر مقدار سری از مقدار قبلی اش کسر می شود، به طوری که تفاضل گیری مرتبه ۲ از رابطه زیر مشخص می گردد.

$$(1 - B)Y_t = Y_t - Y_{t-1} = Z_t - 2Z_{t-1} + Z_{t-2} \dots\dots\dots (11)$$

پس از ایستاکردن مقادیر سری زمانی با دو بار تفاضل گیری مدل آزمایشی می توان از نمودار همبستگی نگار و همبستگی نگار جزئی استفاده کرد.

اگر فرض شود که $Y_{(k)}$ تابع خود همبستگی نمونه مربوط به سری (Y_t) باشد، مقادیر p, q را می توان طوری تعیین کرد که $r(1), r(2), \dots, r(s-1)$ به طور معقول منطبق بر تابع خود همبستگی نظری فرایند (p, d) باشند. سپس، نمودار تابع خود همبستگی نمونه مربوط به سری (Y_t) در تأخیرهایی که مضربی از s هستند، اعمال می شود. مقادیر p, q طوری تعیین می شوند که $r(s), r(2s), r(3s), \dots$ به طور معقول منطبق بر تابع خود همبستگی نظری فرایند (p, Q) باشند تا بدین ترتیب با روش فوق یک مدل ترکیب شده از دو بخش غیر فصلی و فصلی SARIMA(p,d,q)(P,D,Q)₁₂ به طور آزمایشی انتخاب شود.

مدل آزمایشی در مرحله بعد باید از لحاظ درستی فرضها و مناسبت آن مورد کنترل قرار گیرد. یکی از روشهایی که برای انتخاب یک مدل آزمایشی اولیه وجود دارد، استفاده از نمودار همبستگی نگار جزئی است. فرض می شود که $\phi_1(k)$ تابع خود همبستگی جزئی نمونه مربوط به سری (Y_t) باشد. مقادیر p, q طوری تعیین می شوند که $\phi(1), \phi(2), \dots, \phi(s-1)$ به طور معقول

منطبق بر تابع خود همبستگی جزئی نظری (p,q) باشد؛ سپس نمودار تابع خود همبستگی جزئی نمونه، در تأخیرهایی که مضربی از S هستند اعمال و مقادیر Q,p طوری تعیین می‌شوند که $\phi(3s), \phi(2s), \phi(s)$ و... به طور معقول منطبق بر تابع خود همبستگی جزئی فرایند (P,Q) باشند.

تعیین رسته مدل با استفاده از تست معیار اطلاع آکاییک (AIC) صورت گرفته است. این تست که در سال ۱۹۷۴ توسط آکاییک ارائه شده بر این اصل استوار است که هر رسته AIC کمتری داشته باشد، برازش بهتری بر سری مزبور خواهد داشت. مقدار AIC برای مدل مورد نظر، از رابطه زیر به دست می‌آید:

$$AIC = -2(\text{Loglikelihoods}) + 2K \dots\dots\dots(12)$$

در رابطه فوق (Loglikelihoods) برآورد پیشینه لگاریتم درست نمایی و K تعداد پارامترهای مدل می‌باشد. برای یک آریمای که شامل پارامتر θ_0 نباشد، مقدار $K = p + q + p + Q$ است. چنانچه با استفاده از معیار آکاییک مدلی از بین چند مدل رقیب انتخاب شود، مقدار AIC متناظر مدل انتخابی باید کمینه باشد. به هر حال، مدل آزمایشی اولیه به هر شکلی که تعیین شود، باید به این نکته توجه داشت که مدل تعیین شده، مورد کنترل‌های همه‌جانبه قرار گیرد. این کنترلها شامل نرمال و مستقل بودن و برازش مقادیر می‌باشد.

مدل‌سازی و پیش‌بینی متوسط دمای ماهانه تبریز

الگوسازی: مطابق جدول ۱، مرتبه‌های $D=1$ و $d=0$ با داشتن کمترین مقدار واریانس سری، تفاضل‌گیری و انتخاب گردیده و با ترسیم خودهمبستگی و خودهمبستگی جزئی سری زمانی، با تفاضل‌گیری فصلی ($D=1$)، مقادیر غیر فصلی $(1,0,1)$ و فصلی $(0,0,1)$ ، به عنوان الگوی اولیه مشخص گردیده، سپس با برازش و اصلاح الگوی اولیه، مدل نهایی آریمای فصلی به صورت زیر تعیین شده است:

$$SARIMA(0,0,1), (0,1,1)12 \dots\dots\dots(13)$$

تجزیه و تحلیل الگو با استفاده از روش مدل آریمای صورت گرفته است و مقادیر AIC و واریانس و پارامترهای خود بازگشت (ϕ) و میانگین متحرک (θ) در سطحی معنادار کمتر از ۰/۰۵ تعیین گردیده‌اند (جدول ۲).

جدول ۱ مقادیر مرتبه های فصلی و غیر فصلی و واریانس متوسط دمای ایستگاه تبریز

تعداد سری زمانی	واریانس	میانگین	D مرتبه فضای تفاضل گیری	d مرتبه تفاضل گیری غیر فصلی
۴۸۰	۹۸/۸	۱۲/۳۳	۰	۰
۴۷۹	۳۱/۲۹	۹/۸۱	۰	۱
۴۶۸	۸/۱۰	۳/۷۱	۱	۰
۴۶۷	۱۱/۱۵	۵/۷۸	۱	۱
۴۷۸	۲۱/۷۴	-۴/۱۸	۰	۲
۴۵۶	۲۳/۸۹	-۲/۱۹	۲	۰
۴۵۵	۳۳/۲۹	۲/۴۱	۲	۱
۴۶۶	۲۹/۳۴	-۱/۶۷	۱	۲
۴۵۴	۸۹/۰۳	۲/۲۴	۲	۲

جدول ۲ مقادیر پارامترهای الگوی A_1 متوسط دمای ایستگاه تبریز

پارامتر	برآورد	سطح معنی داری کمتر از ۰/۰۵
$MA_1(\theta_1)$	-0.3316	0.000000
$SMA_1(\Theta_1)$	0.8728	0.000000

مقایسه معیار اطلاع آکایک AIC

مقادیر AIC الگوی A_1 با A_4, A_3, A_2 مقایسه گردیده و الگوی A_1 با کمترین مقدار AIC و

پارامترهای معنادار به عنوان الگوی انتخابی تعیین گردیده است (جدول ۳).

جدول ۳ مقادیر و رابطه الگوهای A_4, A_3, A_2, A_1 متوسط دمای ایستگاه تبریز

الگو	AIC	رابطه الگو
A_1	1972.83	(0,0,1),(0,1,1),12
A_2	1993.61	(1,0,1),(2,1,1),12
A_3	1991.63	(1,0,1),(1,1,1),12
A_4	1973.51	(1,0,1),(0,1,1),12

آزمون نیکویی برازش

مطابق آزمون کولموگروف - اسیمرنوف، فرض صفر مبنی بر نرمال بودن باقی مانده‌ها در سطحی معنادار 0.089 تأیید می‌گردد (جدول ۴).

جدول ۴ مقادیر آزمون کولموگروف - اسیمرنوف متوسط دمای ایستگاه تبریز

داده‌ها	V.S	سطح معنا داری $P < 0.05$
ناایستا	2.322	0.000
ایستا و نرمال	1.249	0.089

آزمون t-test

بر اساس این آزمون مقدار $t = -2/31$ می‌باشد، لذا متوسط دمای ماهانه ایستگاه تبریز دارای دو دوره تفاوت معنادار با سطح اطمینان 0/95 می‌باشد و مقادیر میانگین دوره دوم بیشتر از دوره اول بوده و نشان‌دهنده روند افزایش دماست (جدول ۵).

جدول ۵ مقادیر آزمون t متوسط دماهای ماهانه ایستگاه تبریز

مقایسه متوسط دمای تبریز	میانگین	انحراف معیار	سطح اطمینان 95%		t	سطح معناداری
			پایین	بالا		
دوره اول (۱۹۷۸ تا ۱۹۵۹)	0/۴۳	۲/۹۲	-۰/۸	-۶/۵	۲/۳۱	0/۰۲
دوره دوم (۱۹۶۹ تا ۱۹۹۸)						

نتایج

بر اساس نمودار تغییرات سری زمانی با تفاضل‌گیری فصلی (شکل ۱) و مطابق نمودار بافتنگار (شکل ۲) و مدل آریما و مقادیر AIC و پارامترهای معنادار، می‌توان روابط مدل را به شکل زیر تنظیم کرد:

$$(1 - B^{12})y_t = (1 - \theta_1 B)(1 - \theta_2 B^{12})a_t \quad (14)$$

$$(1 - B^{12})y_t = (1 - (-0.33B)(1 - 0.872B^{12}))a_t \quad (15)$$

پیش بینی

بر اساس نتایج حاصل از مدل محاسباتی و با توجه به درجه تفاضلی $D=1$ ، ملاحظه می‌شود که سری زمانی متوسط دمای ایستگاه تبریز حول یک محور غیر خطی نوسان دارد و شیب خط

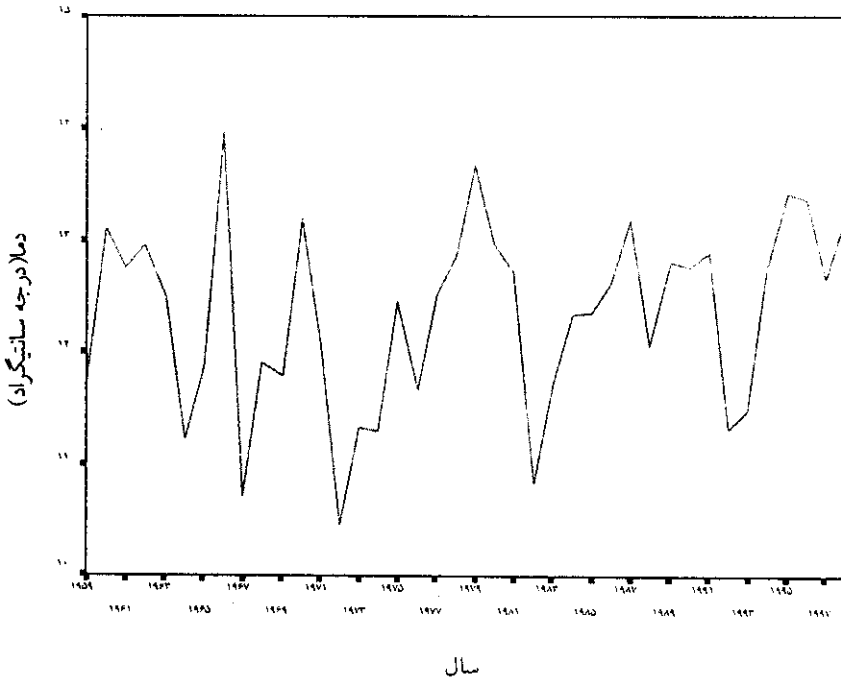
به طرف بالاست. این امر افزایشی بودن متوسط دما را نشان می دهد (شکل ۱۰). نمودار پیش بینی همراه با مشاهدات ۱۱ سال آخر را با سطح ۹۵٪ اطمینان و خطای ۰/۰۵ در فاصله سالهای ۲۰۰۰ تا ۲۰۱۰ مشخص می کند.

مدل (۳)

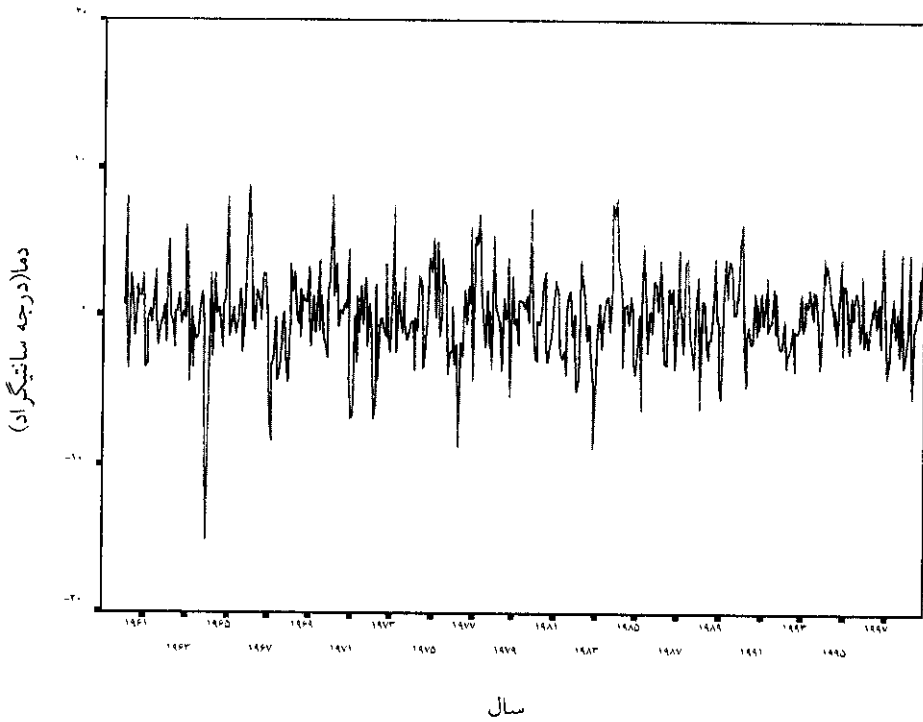
$$y_t = y_{t-12} + a_t - \theta_1 a_{t-1} - \Theta a_{t-12} + \theta_1 (\Theta) a_{t-13}$$

پیش بینی (۳)

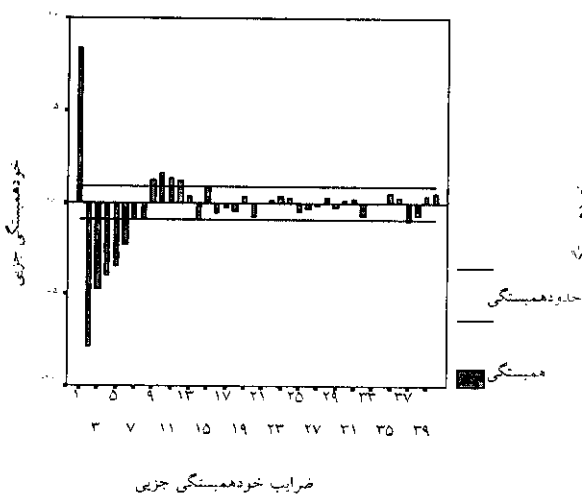
$$y_t = y_{t-12} + a_t - \theta a_{t+T-1} - \Theta a_{t+T-1} + \theta \Theta a_{t+T-13}$$



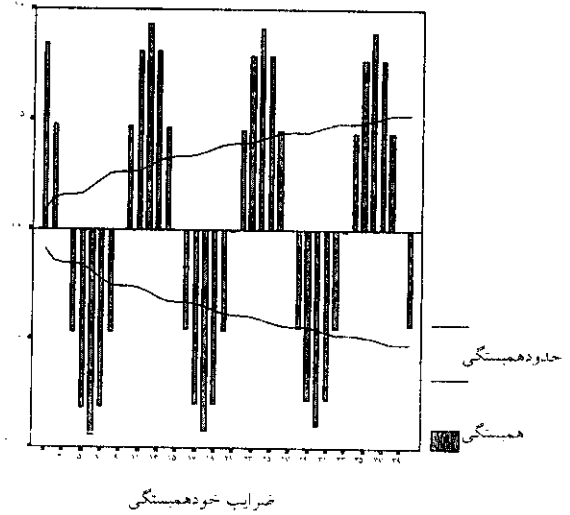
شکل ۱ نمودار تغییرات متوسط دمای ماهانه ایستگاه تبریز از سال ۱۹۹۸ تا ۱۹۹۹



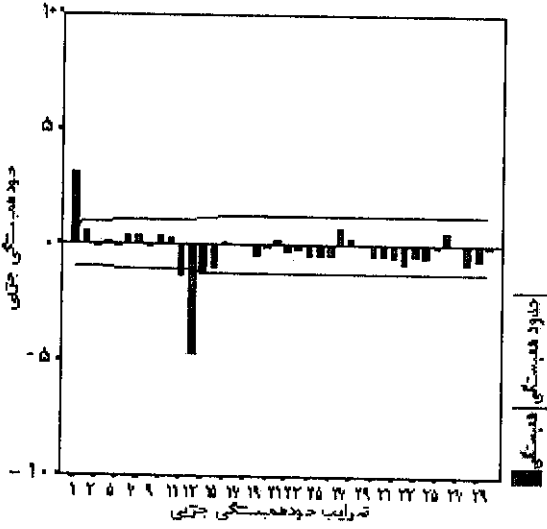
شکل ۲ تغییرات متوسط دمای ماهانه ایستگاه تبریز با یک بار تفاضل گیری فصلی



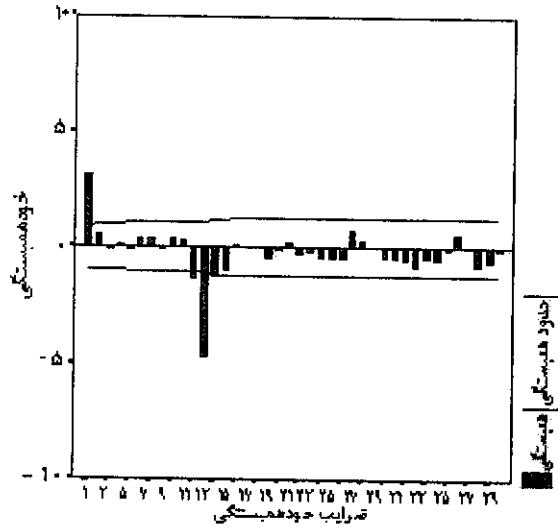
شکل ۴ خودهمبستگی جزئی متوسط دمای ماهانه ایستگاه تبریز



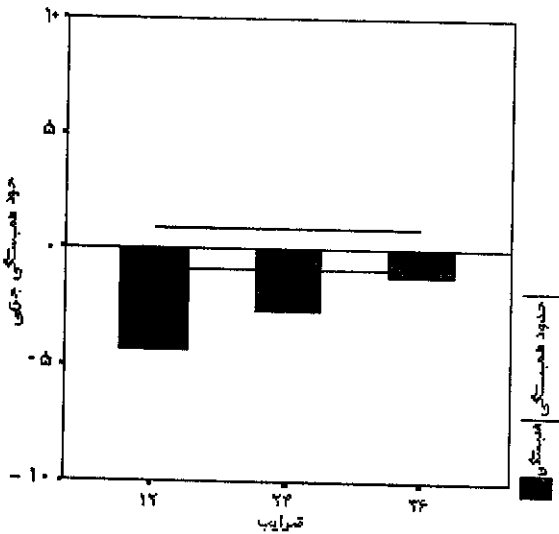
شکل ۳ خودهمبستگی متوسط دمای ماهانه ایستگاه تبریز



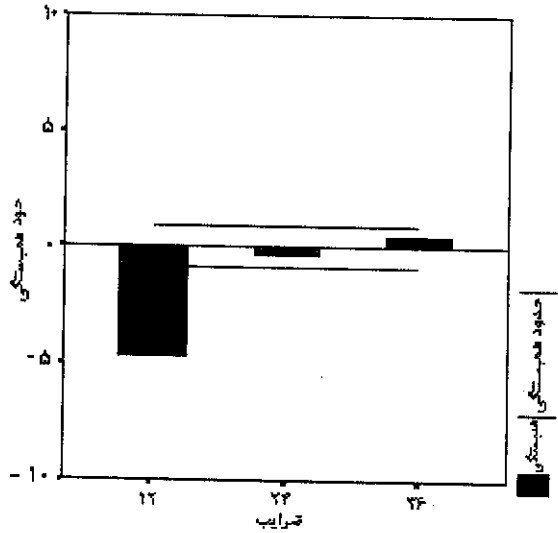
شکل ۶ خودهمبستگی جزئی متوسط دمای ماهانه ایستگاه تبریز بایک بار تفاضل گیری فصلی



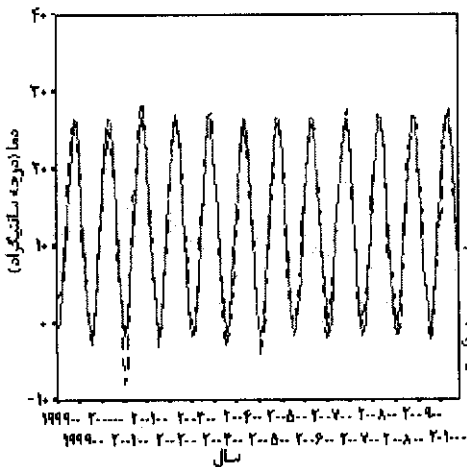
شکل ۵ خودهمبستگی متوسط دمای ماهانه ایستگاه تبریز با یک بار تفاضل گیری فصلی



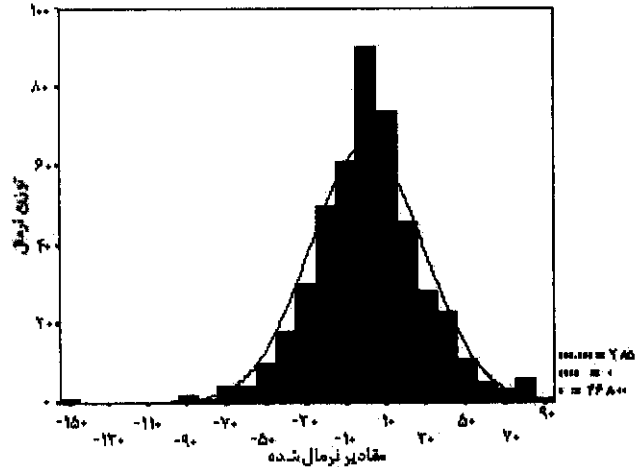
شکل ۸ خودهمبستگی جزئی فصلی متوسط دمای تبریز با یک بار تفاضل گیری فصلی



شکل ۷ خودهمبستگی فصلی متوسط دمای تبریز با یک بار تفاضل گیری فصلی



شکل ۱۰ نمودار پیش بینی متوسط دمای ماهانه ایستگاه تبریز از سال ۲۰۰۰ تا ۲۰۱۰



شکل ۹ بافتنگار متوسط دمای ماهانه ایستگاه تبریز با یک بارتفاضل گیری فصلی

منابع و مآخذ

۱. باکس، جی. ای. پی. و جی. ام جنکینز (۱۳۷۱): تحلیل سری زمانی، پیش بینی و کنترل، ترجمه محمد رضا مشکاتی، چاپ اول، انتشارات دانشگاه شهید بهشتی تهران.
۲. ترابی، سیما (۱۳۸۰): بررسی و پیش بینی تغییرات دما و بارش در ایران (پایان نامه دکتری جغرافیای طبیعی)، دانشکده علوم انسانی و اجتماعی دانشگاه تبریز.
۳. خردمندنیا، منوچهر، حسین عساکره (۱۳۸۰): الگو سازی ARIMA برای متوسط دمای سالانه هوا در جاسک، سومین سمینار احتمال و فرایند های تصادفی، دانشگاه اصفهان.
۴. طاهری، محمد (۱۳۷۷): مدل بندی میزان دما و بارش در ۱۱ ایستگاه هوا شناسی ایران و پیش بینی تا پایان سال ۲۰۰۰، معاونت آموزشی و پژوهشی سازمان هواشناسی کشور، تهران.
۵. گلدهسته، اکبر و همکاران (۱۳۷۷): راهنمای کاربری SPSS 6 FOR Windows، جلد دوم، شرکت آمارپردازان تهران، مرکز فرهنگی انتشاراتی حامی، تهران.
۶. مشکاتی، محمدرضا (۱۳۷۶): تحلیل سریهای زمانی: پیش بینی و کنترل، (ترجمه)، انتشارات دانشگاه تهران.
۷. ویسی، ویلیام دلبیو (۱۳۷۶): تحلیل سریهای زمانی، ترجمه حسینی نیرومند و ابوالقاسم بزرگنیا، چاپ اول، دانشگاه فردوسی مشهد.
۸. هومن، حیدرعلی (۱۳۷۳): استنباط آماری در پژوهش رفتاری، چاپ اول، نشر پارسا.

10. Box. G. E. P. Jenkins. G. M. and Reinse G. C. (1994): *Time Series Analysis: Forecasting and Control* 3rd Edition, San Fransco, Holden Day.
11. Folland. C. K. (1990): *Observed Climate Variation and Change "Climate Change: The IPCC Scientific Assessment, Cambridge University Press.* PP195-238.
12. Jonse P. Dand M Hulme. (1996): *Calculating Regional Climate Time Series for Temperature and Precipitation Methods and Illustrations*, International Journal of Climatology, Vol.16, PP361-377.
13. Kelly, P. Mand. P. D. Jones, (1999): *Spatial Patterns of Variability in the Globle Surface Air Temperature data set*. Journal of Geophysical Research, Vol. 104, No. D2027, PP 24237-24256. October 27.
14. Leite, S. Mand, J P, Peixoto (1996): *The Autoregressive Model of Climatological Time Series An Application to the Longest Time Series in Portugal*. International Journal of Climatology, Vol. 16PP. 1165-1173.
15. Sen Zekai, (1998): *Small Sample Estimation of the Variance of Time Averages in Climate Time Series* International Journal of Climatology, Vol. 18, PP1725-1732.
16. Turkes, M.M.S.U.tku. (1996): *Observed Change Temperature in Turkey*. International Journal of Climatology, Vol. 16. PP463-477.